

正誤情報

このたびは森北出版株式会社発行の書籍をお買い求めいただき、誠にありがとうございました。下記の書籍につきまして誤りのある箇所がございましたので、お詫びし訂正させていただきます。

2020年6月19日 森北出版株式会社 生産マネジメント部

タイトル

電気磁気学 新装版

正誤対象

お手持ちの書籍の刷数をお調べのうえ、下の表をご覧ください。正誤表内の一番左に「対応刷数」という列がございます。該当する刷数の訂正情報をご参照下さい。

なお、刷数につきましては下記「刷数の調べ方」をご参照ください。

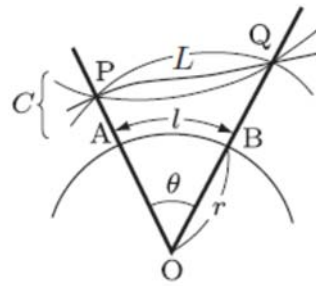
| お持ちの本の刷数 | | | | |
|----------|---------------------|---|----|--------------|
| 1 | 対応刷数 | 1 | より | 7 までをご参照ください |
| 2, 3 | 対応刷数 | 3 | より | 7 までをご参照ください |
| 4, 5 | 対応刷数 | 5 | より | 7 までをご参照ください |
| 6, 7 | 対応刷数 | 7 | を | ご参照ください |
| それ以降 | 現在把握している訂正情報はございません | | | |

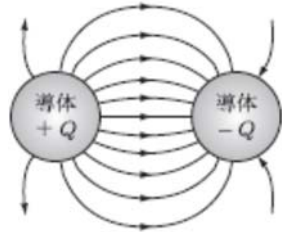
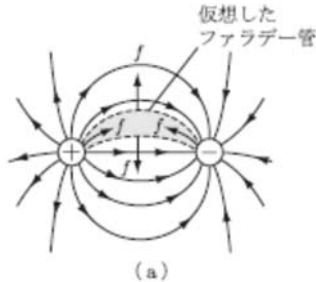
刷数の調べ方

本の一番後ろのページ(広告等除く)に下図のようなページがございます。ご参照いただき、お持ちの本の刷数をお調べください。

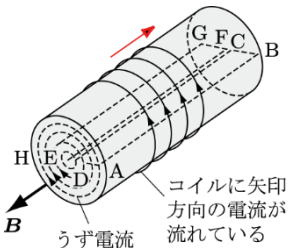
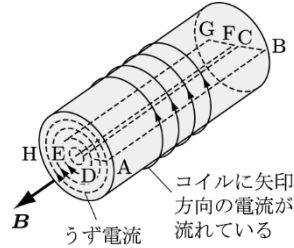
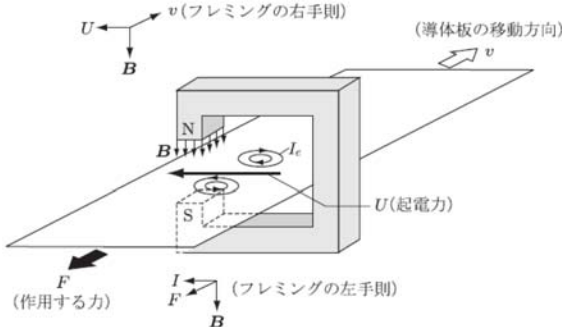
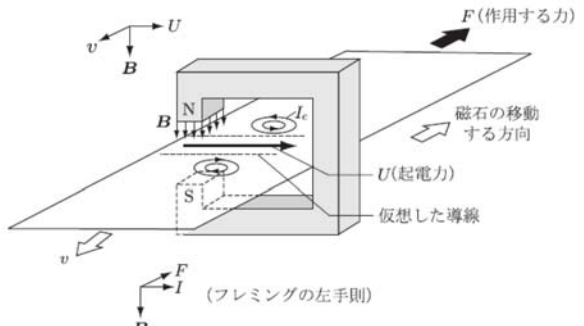


日付の最も新しい行に記載された数字がお持ちの本の刷数となります

| 対応刷数 | 頁 | 行数, 図・表・式番号 | 誤 | 正 |
|------|----|----------------|--|--|
| 1 | 5 | 図 1.7 | 図 1.7 動系ベクトル | 図 1.7 動径ベクトル |
| 1 | 16 | 一般の角の図 | 右のように修正 |  |
| 7 | 18 | 図 1.17(a) | 半径 R の球面 ($\mathbf{R} = \mathbf{R}_0 \mathbf{R}$) | 半径 R の球面 ($\mathbf{R} = \mathbf{R}_0 \mathbf{R}$) (一番右の R は太字ではない) |
| 5 | 52 | 例題 3.2 2 行目 | また, 円筒外の一点と円筒内外の点の電位差を求めよ. | また, (i)円筒外の一点と円筒表面との電位差および(ii)円筒内外の点間の電位差を求めよ. |
| 5 | 52 | 下から 7 行目 | $V_{ra} = -\int_a^r E dr = -\int_a^r \frac{\lambda dr}{2\pi\epsilon_0 r} = \frac{\lambda}{2\pi\epsilon_0} \log \frac{a}{r} \quad [\text{V}]$ | $V_{ar} = -\int_r^a E dr = -\int_r^a \frac{\lambda dr}{2\pi\epsilon_0 r} = \frac{\lambda}{2\pi\epsilon_0} \log \frac{r}{a} \quad [\text{V}]$ |
| 3 | 53 | 7 行目 | $V_{12} = \frac{\lambda}{2\pi\epsilon_0} \left(\log \frac{a}{r_1} + \frac{a^2 - r_2^2}{2a^2} \right) [\text{V}]$ | $V_{12} = \frac{\lambda}{2\pi\epsilon_0} \left(\log \frac{r_1}{a} + \frac{a^2 - r_2^2}{2a^2} \right) [\text{V}]$ 再修正あり下記も参照 |
| 5 | 53 | 7 行目 | $V_{12} = \frac{\lambda}{2\pi\epsilon_0} \left(\log \frac{r_1}{a} + \frac{a^2 - r_2^2}{2a^2} \right) [\text{V}]$ | $V_{21} = V_{ar_1} + V_{r_2a} = \frac{\lambda}{2\pi\epsilon_0} \left(\log \frac{r_1}{a} + \frac{a^2 - r_2^2}{2a^2} \right) [\text{V}]$ |
| 3 | 66 | 定義の 5 行目 | $M = \sigma \delta \quad [\text{Cm}]$ | $M = \sigma \delta \quad [\text{C/m}]$ |

| | | | | |
|---|-----|-----------------|--|--|
| 3 | 78 | 下から 5行目 | $\Delta_{ij} = \Delta$ の j 行, j 列要素... | $\Delta_{ij} = \Delta$ の <u>i</u> 行, j 列要素... |
| 5 | 79 | 13行目 | q_{11} は導体に単位電位を与え, ... | q_{11} は導体 1 に単位電位を与え, ... |
| 5 | 82 | 例題 4.5 解 最下行 | $C = \frac{\sigma}{V} = \frac{\epsilon_0}{d} [\text{F/m}^2]$ | $C = \frac{\sigma}{V} = \frac{\epsilon_0}{d} [\text{F/m}]$ |
| 3 | 107 | 式(6.3) | $W_1 = \int dw \int_0^{Q_1} v \delta q = \dots$ | $W_1 = \int dw = \int_0^{Q_1} v \delta q = \dots$ |
| 3 | 109 | 図 6.2 | 右図のように, 導体間の線を実線にする |  |
| 5 | 112 | 4行目 | 右辺の積分に関与するのは, ... | 左辺 の積分に関与するのは, ... |
| 5 | 112 | 13行目 | dS 面以外の電界によって... | dS 面以外の 電荷 によって... |
| 3 | 114 | 図 6.7(a) | 右図のように |  |
| 5 | 126 | 下から 10行目 | x, y 軸を, 面に垂直な方向に z 軸をとる. | z, y 軸を, 面に垂直な方向に x 軸をとる. |
| 5 | 130 | 2行目 | つまり, ϵ_2 の強電体の電位... | つまり, ϵ_2 の 誘電体 の電位... |

| | | | | |
|---|-----|----------------|---|---|
| 5 | 135 | 接地導体球と点電荷の図 | 右のように修正 (C を追加) | |
| 5 | 137 | 絶縁された導体球と点電荷の図 | 右のように修正 (C を追加) | |
| 5 | 201 | 式(10.20) | … (点 P における磁界の接線成分の連続) | … (点 Q における磁界の接線成分の連続) |
| 5 | 201 | 式(10.21) | … (点 P における磁束密度の法線成分の連続) | … (点 Q における磁束密度の法線成分の連続) |
| 5 | 214 | 図 10.21(d) | $R_1 = \frac{l_1}{\mu S}$ | $R_1 = \frac{l_1}{\mu S_1}$ |
| 5 | 220 | 式(11.2) | $\Phi = LI$ [Wb] | $\Phi = LI$ [Wb] |
| 5 | 223 | 下から 10 行目 | …, C_1 の電流 I_1 による… | …, C_1 の電流 I_1 による… |
| 5 | 223 | 式 (11.7) | $A_{21} = \dots$ | $A_{21} = \dots$ (A を太字にする) |
| 5 | 224 | 式(11.11) | $M = \frac{\mu_0}{4\pi} \int_{x_2=0}^{x_1=0} \dots$ | $M = \frac{\mu_0}{4\pi} \int_{x_2=0}^{x_1=l_2} \dots$ |
| 5 | 228 | 4 行目 | $M = M_{12} = M_{21} = \frac{N_1 \phi_{12}}{I} = \frac{N_2 \phi_{21}}{I}$ | $M = M_{12} = M_{21} = \frac{N_1 \phi_{12}}{I} = \frac{N_2 \phi_{21}}{I}$ |
| 5 | 253 | 図 12.13(b) | 右のように (矢印の向きを逆にする) | |

| | | | | |
|---|-----|-------------------|--|---|
| 5 | 253 | 図 12.14(a) |  <p>コイルに矢印方向の電流が流れている うず電流</p> |  <p>コイルに矢印方向の電流が流れている うず電流</p> <p>(矢印の削除)</p> |
| 1 | 258 | 図 12.16 | 右のように修正 |  <p>(a) 導体板が移動する場合</p>  <p>(b) 磁石が移動する場合</p> |
| 5 | 266 | 11 行目 | …，電流密度が \mathbf{i}_z のとき， | …，電流密度が \mathbf{i}_x のとき， |
| 5 | 267 | 式(13.23) | $\frac{\partial}{\partial t} \mu H_x (\Delta y \Delta z) = j \omega \mu H_x (\Delta x \Delta z)$ | $\frac{\partial}{\partial t} \mu H_x (\Delta y \Delta z) = j \omega \mu H_x (\Delta y \Delta z)$ |
| 5 | 268 | 波動方程式の囲み内の式の 2 行目 | $\nabla^2 \mathbf{H} = \mu \kappa \frac{\partial \mathbf{H}}{\partial t} + \mu \varepsilon \frac{\partial^2 \mathbf{H}}{\partial t^2}$ | $\nabla^2 \mathbf{H} = \mu \kappa \frac{\partial \mathbf{H}}{\partial t} + \mu \varepsilon \frac{\partial^2 \mathbf{H}}{\partial t^2}$ |

| | | | | |
|---|-----|-------------|--|--|
| 5 | 269 | 式(13.34) | $\nabla^2 \mathbf{H} = \mu\kappa \frac{\partial \mathbf{H}}{\partial t} + \mu\varepsilon \frac{\partial^2 \mathbf{H}}{\partial t^2}$ | $\nabla^2 \mathbf{H} = \mu\kappa \frac{\partial \mathbf{H}}{\partial t} + \mu\varepsilon \frac{\partial^2 \mathbf{H}}{\partial t^2}$ |
| 1 | 270 | 脚注6) 3行目 | … α は[Nep/m または dB/m]で表す. | … α は[Np/m または dB/m]で表す. |
| 1 | 271 | 式 (13.42) | … [Nep/m] | … [Np/m] |
| 5 | 271 | 式 (13.44) | 位相定数 : … | 位相速度 : … |
| 1 | 271 | 式 (13.46) | $E_{1x} = E_1(z) e^{-\alpha z} \cdot e^{-j\beta \left(z - \frac{\omega}{\beta} t \right)} = E_1(z) e^{-\gamma z} \cdot e^{j\omega t}$ | $E_{1x} = A_1 e^{-\alpha z} \cdot e^{-j\beta \left(z - \frac{\omega}{\beta} t \right)} = A_1 e^{-\gamma z} \cdot e^{j\omega t}$ |
| 1 | 273 | 式 (13.56) | … [Nep/m] | … [Np/m] |
| 1 | 273 | 式 (13.61) | … [Nep/m] | … [Np/m] |
| 5 | 282 | 式 (13.92) | $\mathbf{n} \cdot (\mathbf{D}_1 - \mathbf{D}_2) = \rho_s$ | $\mathbf{n} \cdot (\mathbf{D}_1 - \mathbf{D}_2) = \rho_s$ |
| 1 | 287 | 7行目 | … 垂直な成分 E_x のみの波に… | … 垂直な成分 E_y のみの波に… |
| 1 | 287 | 図 13.15 | 右のように修正 | |

| | | | | |
|---|-----|---------------------------|--|--|
| 1 | 290 | 図 13.17 | 右のように修正 | |
| 3 | 293 | 図 13.19 | 右のように修正 | |
| 1 | 293 | 下から 5 行目 | 式 (13.142) で $\theta = \theta_t, \gamma = \gamma_2$ と置き換えて | 式 (13.144) で $\gamma_1 \rightarrow \gamma_2, \theta_i \rightarrow \theta_t, A' \rightarrow C'$ と置き換えて |
| 1 | 293 | 式 (13.146b) | $E_{tx} = \eta_2 \cos \theta_1 \cdots$ | $E_{tx} = \eta_2 \cos \theta_t \cdots$ |
| 1 | 294 | 式 (13.147b) | $\cdots z=0 + E_{\gamma x}(x, z) \cdots$ | $\cdots z=0 + E_{rx}(x, z) \cdots$ |
| 3 | 308 | 1 行目 | $Q_2 = -\frac{4\pi\epsilon_0 abd}{d^2 - ab} + \cdots$ | $Q_2 = -\frac{4\pi\epsilon_0 abd}{d^2 - ab} V_1 + \cdots$ |
| 5 | 308 | 第 4 章 4. (iii) 3 行目 | $Q_3 = \frac{a^3(3r - 2a)}{r^3} Q$ | $Q_3 = \frac{a^2(3r - 2a)}{r^3} Q$ |
| 5 | 308 | 第 4 章 5. 2 行目 | $V_1 = \frac{Q_1}{4\pi\epsilon_0} \left(\frac{1}{a} - \frac{1}{b} + \frac{1}{c} \right) + \frac{1}{4\pi\epsilon_0 c}$ | $V_1 = \frac{Q_1}{4\pi\epsilon_0} \left(\frac{1}{a} - \frac{1}{b} + \frac{1}{c} \right) + \frac{Q_2}{4\pi\epsilon_0 c}$ |

| | | | | |
|---|-----|--------------------|---|---|
| 5 | 309 | 第5章 1. 6行目 | $= 8.855 \times 10^{-12} (10 - 1) = \dots$ | $= 8.854 \times 10^{-12} (10 - 1) = \dots$ |
| 5 | 309 | 第5章 1. 8~9行目 | $D = \varepsilon_0 \varepsilon_s E = 8.855 \times 10^{-12} \times 10 \times 10^3$ $= 8.855 \times 10^{-8}$ | $D = \varepsilon_0 \varepsilon_s E = 8.854 \times 10^{-12} \times 10 \times 10^3$ $= 8.854 \times 10^{-8}$ |
| 3 | 311 | 14行目 | $V_2 - V_1 = \dots$ | $V_1 - V_2 = \dots$ |
| 5 | 322 | 第12章 2. 2行目 | $= 7.5 \sin 50\pi t$ | $= 7.5\pi \sin 50\pi t$ |